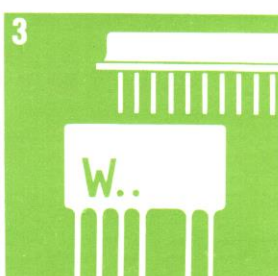
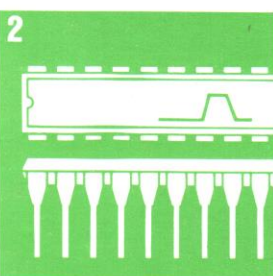
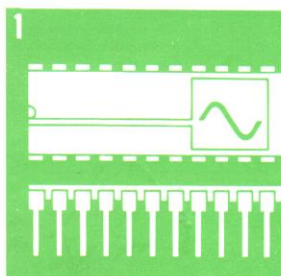


# TESLA

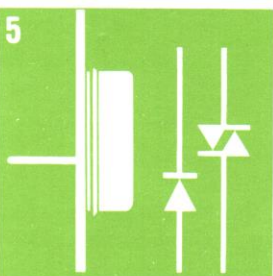
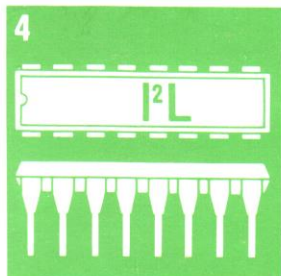
ELEKTRONICKÉ SOUČÁSTKY  
KONCERN ROŽNOV

## Integrated Circuits Integrierte Schaltkreise



Linear  
Integrated  
Circuits

1



Digital  
Integrated  
Circuits

2

Hybrid  
Integrated  
Circuits

3

Custom  
Integrated  
Circuits

4

Semiconductor  
Devices

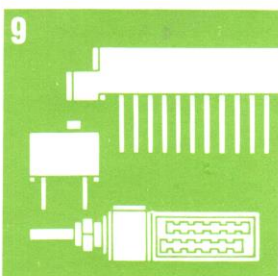
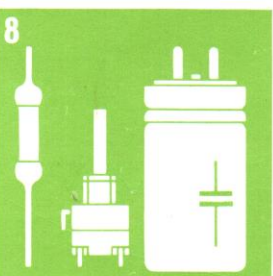
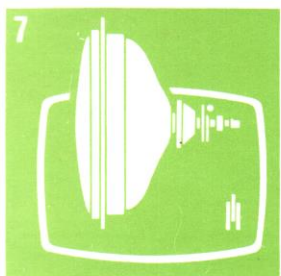
5

Optoelectronic  
Devices

6

TV Picture  
Tubes

7



Passive  
Electronic  
Components

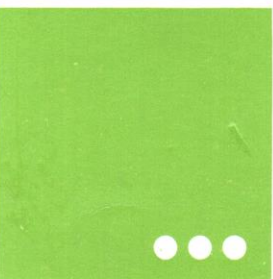
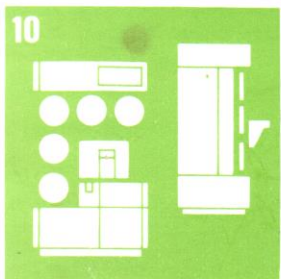
8

Connectors

9

Production  
Equipment

10

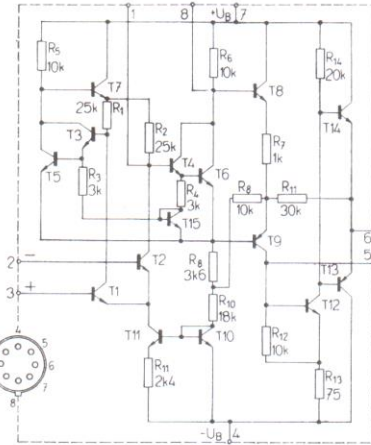


LINEAR INTEGRATED CIRCUITS ● LINEARE INTEGRIERTE SCHALTKREISE  
OPERATIONAL AMPLIFIERS ● OPERATIONSVERSTÄRKER

MAA501  
MAA502  
MAA504

Maximum ratings:  
Gränzwerte:

Supply voltage Betriebsspannung	$U_B$	max	$\pm 18$	V
Differential input voltage Differential-Eingangsspannung	$U_{ID}$	max	$\pm 5$	V
Input voltage Eingangsspannung	$U_I$	max	$\pm 10$	V
Total power dissipation Gesamtverlustleistung	P	max	300	mW
MAA501, MAA502, MAA504	P	max	250	mW
Output short-circuit of short duration Ausgangskurzschlussdauer	t	max	5	s
Case temperature Gehäsetemperatur	$\theta_c$	max	125	°C
MAA501, MAA502, MAA504	$\theta_c$	max	70	°C
Operating temperature Betriebstemperatur	$\theta_a$	max	-55 ... +125	°C
MAA501, MAA502, MAA504	$\theta_a$	max	0 ... +70	°C
Dissipation drop Erniedrigung der Belastbarkeit	MAA501, MAA502 MAA504		5,5 mW/K 5,6 mW/K	$\theta_a = +95$ °C $\theta_a = +70$ °C



Outlines • Abmessungen IO 4

Characteristic data: — Kenndaten:	MAA501	MAA502	MAA504 MAA503		
Valid at — (unless otherwise noted) Gültig bei — (wenn nicht anders angegeben)	$-55$ °C $\leq \theta_a \leq +125$ °C $\pm 9$ V $\leq U_B \leq \pm 15$ V	$-55$ °C $\leq \theta_a \leq +125$ °C $\pm 9$ V $\leq U_B \leq \pm 15$ V	$U_B = \pm 15$ V $\theta_a = 25$ °C		
Input offset voltage Eingangsspannung-Unsymmetrie					
$R_s \leq 10$ kΩ $R_s \leq 10$ kΩ, $\pm 9$ V $\leq U_B \leq \pm 15$ V	$U_{IO}$ $U_{IO}$	< 6 — *	< 3 —		
Average temperature coefficient of input offset voltage Mittl. Temperaturkoeffizient der Eingangsspannungs-Unsymmetrie					
$R_s \leq 10$ kΩ $R_s = 50$ Ω $R_s = 50$ Ω, $\theta_a = +25 \dots +125$ °C $R_s = 50$ Ω, $\theta_a = -55 \dots +25$ °C $R_s = 10$ kΩ, $\theta_a = +25 \dots +125$ °C $R_s = 10$ kΩ, $\theta_a = -55 \dots +25$ °C	$\alpha_{U_{IO}}$ $\alpha_{U_{IO}}$ $\alpha_{U_{IO}}$ $\alpha_{U_{IO}}$ $\alpha_{U_{IO}}$ $\alpha_{U_{IO}}$	6 3 — — — —	— — $1,8 < 10$ $1,8 < 10$ $2 < 15$ $4,8 < 25$	— — — — — —	μV/K μV/K μV/K μV/K μV/K μV/K
Large-signal voltage gain Leerlauf-Spannungsverstärkung					
$U_B = \pm 15$ V, $R_L \geq 2$ kΩ, $U_O = \pm 10$ V	$A_u$	25 000 ... 70 000	25 000 ... 70 000	45 000 > 15 000	
Output voltage swing Ausgangs-Spitzenspannung					
$U_B = \pm 15$ V, $R_L \geq 10$ kΩ $U_B = \pm 15$ V, $R_L \geq 2$ kΩ	$U_{OPP\ max}$ $U_{OPP\ max}$	$\pm 14 > \pm 12$ $\pm 13 > \pm 10$	$\pm 14 > \pm 12$ $\pm 13 > \pm 10$	$\pm 14 > \pm 12$ $\pm 13 > \pm 10$	
Input voltage range Eingangs-Spannungsbereich					
$U_B = \pm 15$ V	$U_I$	$\pm 10 > \pm 8$	$> \pm 8$	$\pm 10 > \pm 8$	
Common mode rejection ratio Gleichaktunterdrückung					
$R_s \leq 10$ kΩ	CMR	90 > 70	110 > 80	90 > 65	
Supply voltage rejection ratio Empfindlichkeit an Betriebsspannungsänderung					
$R_s \leq 10$ kΩ	SVR	25 < 150	40 < 100	25 < 200	
Input offset current Eingangsstrom-Unsymmetrie					
$\theta_a = +125$ °C $\theta_a = -55$ °C	$I_{IO}$ $I_{IO}$ $I_{IO}$	— 20 < 200 100 < 500	— $3,5 < 50$ 40 < 250	100 < 500 — —	
Output resistance Ausgangswiderstand	$R_O$	—	—	150	

Characteristic data: — Kenndaten:	MAA501	MAA502	MAA504 MAA503
Valid at — (unless otherwise noted) Gültig bei — (wenn nicht anders angegeben)	$-55^{\circ}\text{C} \leq \vartheta_a \leq +125^{\circ}\text{C}$ $\pm 9\text{ V} \leq U_B \leq \pm 15\text{ V}$	$-55^{\circ}\text{C} \leq \vartheta_a \leq +125^{\circ}\text{C}$ $\pm 9\text{ V} \leq U_B \leq \pm 15\text{ V}$	$U_B = \pm 15\text{ V}$ $\vartheta_a = 25^{\circ}\text{C}$
Average temperature coefficient of input offset current Mittl. Temperaturkoeffizient der Eingangsstrom-Unsymmetrie	$\alpha_{IIO}$ $\vartheta_a = +25 \dots +125^{\circ}\text{C}$ $\vartheta_a = -55 \dots +25^{\circ}\text{C}$	$\alpha_{IIO}$ $\vartheta_a = -55^{\circ}\text{C}$	$0,08 < 0,5$ $0,45 < 2,8$
Input bias current Eingangs-Null-Strom	$I_{IB}$ $\vartheta_a = -55^{\circ}\text{C}$	$I_{IB}$	$0,5 < 1,5$ $0,3 < 0,6$
Input resistance Eingangswiderstand	$R_I$ $\vartheta_a = -55^{\circ}\text{C}$	$R_I$	$100 > 40$ $170 > 85$
Supply current Betriebsstrom	$I$ $\vartheta_a = +125^{\circ}\text{C}, U_B = \pm 15\text{ V}$ $\vartheta_a = -55^{\circ}\text{C}, U_B = \pm 15\text{ V}$	$I$	$2,1 < 3$ $2,7 < 4,5$
Power consumption Leistungsverbrauch	P $\vartheta_a = +125^{\circ}\text{C}, U_B = \pm 15\text{ V}$ $\vartheta_a = -55^{\circ}\text{C}, U_B = \pm 15\text{ V}$	P	$—$ $63 < 90$ $81 < 135$
		P	$80 < 200$ $—$ $—$
		P	$mW$ $mW$ $mW$

### MAA501, MAA502, MAA504

Bottom view  
Ansicht von unten

Base connection diagram

1. Input frequency compensation
2. Inverting input
3. Non-inverting input
4.  $-U_B$
5. Output frequency compensation
6. Output
7.  $+U_B$
8. Input frequency compensation

### MAA503

Top view  
Ansicht von oben

Sockelschaltung

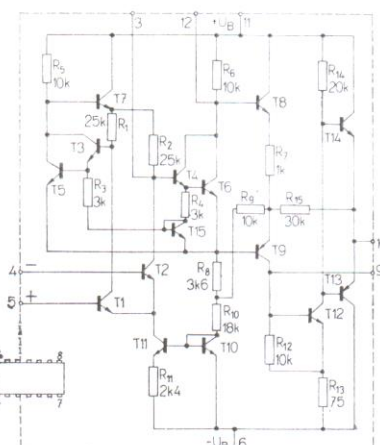
- |                               |    |
|-------------------------------|----|
| Eingangs frequenzkompensation | 3  |
| Invertierend Eingang          | 4  |
| Nicht invertierend Eingang    | 5  |
| $-U_B$                        | 6  |
| Ausgangsfrequenzkompensation  | 9  |
| Ausgang                       | 10 |
| $+U_B$                        | 11 |
| Eingangs frequenzkompensation | 12 |

### MAA503

### OPERATIONAL AMPLIFIER IN PLASTIC-DIL-CASE OPERATIONSVERSTÄRKER IN PLASTIK-DIL-GEHÄUSE

#### Maximum ratings: — Grenzwerte:

Supply voltage Betriebsspannung	$U_B$	max	$\pm 18$	V
Differential input voltage Differential-Eingangsspannung	$U_{ID}$	max	$\pm 5$	V
Input voltage Eingangsspannung	$U_I$	max	$\pm 10$	V
Total power dissipation Gesamtverlustleistung	P	max	250	mW
Output short-circuit of short duration Ausgangskurzschlussdauer	t	max	5	s
Case temperature Gehäsetemperatur	$\vartheta_c$	max	$+70$	$^{\circ}\text{C}$
Operating temperature Betriebstemperatur	$\vartheta_a$	max	$0 \dots +70$	$^{\circ}\text{C}$
Storage temperature Lagerungstemperatur	$\vartheta_{stg}$	max	$-65 \dots +150$	$^{\circ}\text{C}$
Dissipation drop Erniedrigung der Belastbarkeit			5,6 ( $\vartheta_a = +70^{\circ}\text{C}$ )	mW/K



Outlines • Abmessungen IO 13

Characteristic data: see MAA504

Kenndaten: siehe MAA504